

長岡技術科学大学
長岡技術科学大学
新日鐵
学生員 中島 卓夫
正員 早川 典生
正員 福永 和久

1. はじめに； 壁面密度噴流（傾斜プリューム）については、現在までに、多くの研究が行なわれているが、壁面と混合領域の両方の影響を受けるため、流速分布、密度分布等は、十分には明らかにされていない。著者らは、既報において、渦動粘性係数を双曲線関数によつて表現する事により、現象を解析した。ここでは、その理論を発展させて、モデルの妥当性について検討を加える。

2. 基礎方程式； 固定境界を持つ半無限領域に密度 P_0 の流体が静止しており、この周囲流体より大きな密度を持つ流体が、固定境界に沿つて重力方向に流下する場合を考える。この時、 X 方向の運動方程式、質量保存式は次の様になる。

$$U \frac{\partial U}{\partial X} + V \frac{\partial U}{\partial Y} = \varepsilon g + \frac{\partial}{\partial Y} (K_m \frac{\partial U}{\partial Y}) \quad (1)$$

$$U \frac{\partial \varepsilon}{\partial X} + V \frac{\partial \varepsilon}{\partial Y} = \frac{\partial}{\partial Y} (K_d \frac{\partial \varepsilon}{\partial Y}) \quad (2)$$

ここで、 ε は相対密度差 [$= (P - P_0)/P_0$]、 K_m 、 K_d は各々渦動粘性係数、渦動拡散係数である。
本報では K_m 、 K_d を次式のように仮定する。

$$K_m = K_1 B U_m \{ K_2 + \tanh(K_2 \psi/B) \} \quad (3)$$

$$K_d = K_m / S_c$$

ここで、 K_1 、 K_2 、 K_3 は実験定数、 B は噴流幅、 U_m は断面内最大流速、 S_c はシュミット数である。

前報では $K_2 = 0$ として解析したが、その結果 $\psi = 0$ で微分方程式が特異性を示したので、本報では壁面近傍の不確定さを $K_2 \neq 0$ で代表させたものである。

平均流速 U 、 V に流れ関数 ψ を導入し、流下距離才十分に大きく混合が発達した領域を巻えると、流れ関数と相対密度差は、相似関数 $F(\eta)$ 、 $H(\eta)$ を用ひて、次式のように書ける。

$$\begin{aligned} \eta &= y/(\sigma x), \psi = (\sigma x/\eta_i) U_m F(\eta)/F'(\eta) \\ \varepsilon &= (\varepsilon_s \cdot S/x) H(\eta) \end{aligned} \quad (5)$$

ここで、 σ は噴流幅の拡がり率 ($= B/x$)、 η_i は流速の半値半幅、 $F(\eta_i)$ は $F(\eta)$ の最大値、 ε_s は距離 S での壁面相対密度差である。

(3)～(5) 式を用ひて (1)、(2) 式は次式のように変形される。

$$FF'' + K_0 [K_3 \operatorname{sech}^2(K_3 \eta) F'' + \{K_3 + \tanh(K_3 \eta)\} F'''] + K_A R_i H = 0 \quad (6)$$

$$FH + \frac{1}{S_c} K_0 \{K_3 + \tanh(K_3 \eta)\} H' = 0 \quad (7)$$

ここで $K_0 = K_1 (2^3/6) F'(\eta_i)$ 、 $K_3 = F'(\eta_i)^2/\sigma$ 、 $K_A = K_2/\eta_i$ で $R_i = \varepsilon_s \cdot S \cdot B_i / U_m$ は層平均リチャードソン数である。境界条件は $\eta = 0$ で、 $F = F' = 0$ 、 $H = 1$ 、 $\eta = \infty$ で $F' = 0$ である。

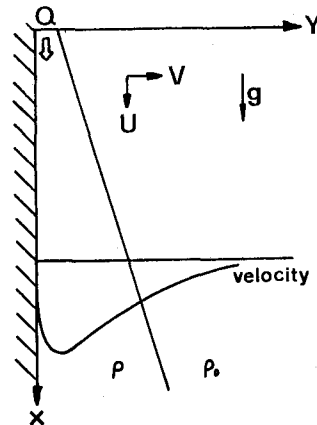
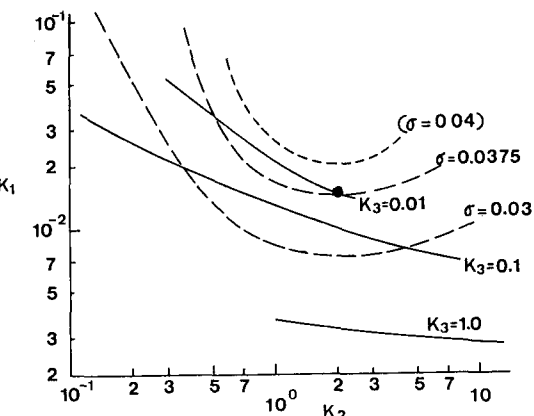


図1 鉛直壁面密度噴流と座標系

図2 パラメータ K_1 、 K_2 、 K_3 、 σ の関係

3. 方程式の解； 微分方程式(6),(7)は、与えられた実験パラメータ κ_1, κ_2 に対し、実験で求まる定数 K_1, K_2, K_3 を用いて解けば結果の η 、および $F'(\eta)$ を用いて、相対速度分布 $U/U_m = F'(\eta)/F(\eta)$ ；相対密度分布 $\xi/\xi_m = H(\eta)$ を得ることができる。しかししながら与えられた実験パラメータ群に対して、境界条件を満足する解が必ず存在するという保証はない。 R_i を固定して考えれば、一組の K_1, K_2 に対して一組の K_3, ξ の値だけが解を与える。このパラメータの組を求めるために、パラメータ K_0, K_A, K_B, K_3 を適宜変えて式(6),(7)を解き、得られた結果の $\eta, F'(\eta)$ から K_1, K_2, ξ を求めた。 $R_i = 0.04648$ についてこれを行なった結果が、図2である。図中 $K_3 = \text{一定}$ の曲線は、実際にこれまで行なった計算により得られた点を結んだものである。

4. 実験結果との比較

理論的には、実験パラメータ $\kappa_1, \kappa_2, K_3, \xi$ が与えられれば、図2に対応する1点が存在するはずである。既報の実験結果では⁽²⁾ $\kappa_1 \approx 0.015$, $\kappa_2 \approx 4.3$, $\xi = 0.042 \sim 0.063$ を得ている。ここでは、 ξ と κ_1 の実験値に近い点を図2上求め、これまでの計算結果から図中の黒丸印の点 $K_1 = 0.015$, $K_2 = 2.016$, $K_3 = 0.01$, $\xi = 0.038$ を採用して、流速・密度分布を計算した。この時の渦動粘性係数の分布を実験結果と共に図3に示す。図4, 5は、計算した流速・密度分布と実験値との比較である。

渦動粘性係数の分布は、実験値に比較して計算値の方が少し大きめにあらわれているが、全体的傾向はよく一致している。

流速分布はよく一致しているが、混合領域において、計算値の方が大きくなる傾向がある。

密度分布は、計算値の方が実験値に比べて低い値を示している。これは計算に用いたシミュット数($S_c = 0.8$)にも問題があると思われる。

これらの点について、今後さらに検討を加える。

参考文献

- (1) 福永和久、福嶋祐介、早川典生；鉛直壁面密度噴流に関する理論的考察，第38回年次学術講演会概要集，1983年
- (2) 福永、福嶋、早川；鉛直壁面密度噴流に関する研究
第28回理講演会論文集，1984年 PP 303～310

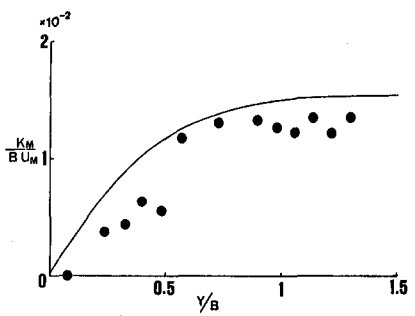


図3 涡動粘性係数の分布

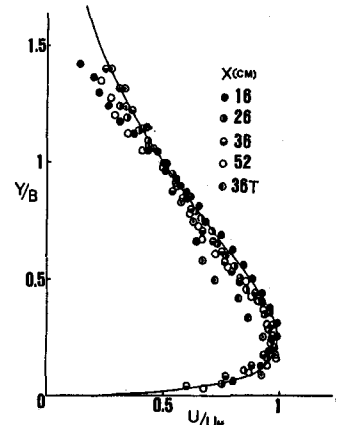


図4 流速分布

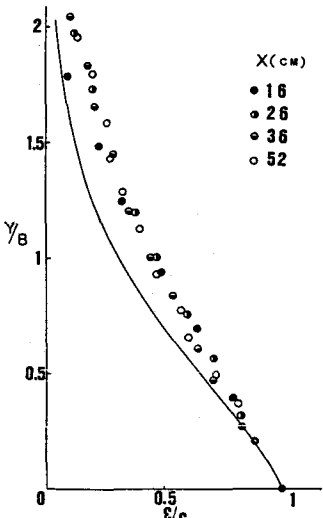


図5 密度分布